

О.И. Алдошина, Н.Л. Сталь, А.В. Фабриков

ПРИМЕНЕНИЕ АДАПТИВНОГО ФИЛЬТРА В ЗАДАЧЕ ОЦЕНИВАНИЯ КООРДИНАТ ИСТОЧНИКА ОПТИЧЕСКОГО ИЗЛУЧЕНИЯ

Рассмотрена возможность применения линейного адаптивного фильтра Калмана в задаче оценивания координат импульсного источника оптического излучения в схеме его наблюдения через атмосферу.

В радионавигации хорошо известен разностно-дальномерный метод определения координат потребителя информации с помощью сетевой спутниковой системы NAVSTAR, основанный на приеме модулированных сигналов с нескольких космических аппаратов (КА) [1]. После выбора оптимального (с точки зрения поставленной задачи) созвездия КА по разностям времен прихода сигналов и известным координатам КА рассчитываются координаты приемника. Тот же метод в несколько измененном виде был предложен для оценивания координат точечного импульсного изотропного источника оптического излучения по результатам измерения с нескольких КА [2]. В этом методе различными КА регистрируются, по сути дела, измененные по масштабу и сдвинутые во времени слабозмущенные (в предположении спокойной безоблачной атмосферы) копии одного и того же сигнала обычно сложной, заранее неизвестной формы. Исходными данными для расчета координат источника являются запаздывания во времени этих <копий>.

Определение запаздывания <копий> по разности моментов времени, в которые аппаратура различных КА начала регистрацию поступающего на нее сигнала, возможно лишь с точностью, соответствующей точности фиксации теряющегося в шуме <нуля> сигнала, а она невелика и сильно зависит от отношения сигнал-шум. Более надежным способом определения запаздывания является оценивание временного сдвига <копий> в целом, обеспечивающего их оптимальное, в смысле среднего квадрата разностей, совмещение.

Эту задачу решает линейный адаптивный фильтр, работающий в режиме идентификации подключенной к нему параллельно неизвестной системы [3]. Имеется в виду идентификация линейной системы, способной преобразовать одну из сравниваемых между собой копий сигнала в другую. При полном совпадении <копий> по форме импульсным откликом $h(t)$ идентифицируемой системы являлась бы дельта-функция Дирака $h(t) = \delta(t - \Delta t)$, где Δt – сдвиг между копиями. В реальных условиях $h(t)$ будет, конечно, отличаться от $\delta(t - \Delta t)$, но можно ожидать, что для слабозмущенных копий, нормированных по масштабу, положения средней точки (первого момента) и максимума функции $h(t)$ будут близки к Δt . Это же должно быть справедливо для адаптивного цифрового фильтра с импульсным откликом $h_i(n)$, аппроксимирующего идентифицируемую систему.

В установленном режиме работы фильтра ($n \gg N$) его характеристику – положение средней точки или же точки максимума отклика $h_i(n)$ как функции i – можно использовать для оценивания искомым сдвигам Δt (запаздываний) между сравнительными копиями сигнала. Можно предположить, что точность оценивания будет ухудшаться с ростом Δt . Поэтому перед сравнением двух копий целесообразно предварительно сместить одну из них на ожидаемую (номинальную) величину запаздывания Δt_0 , сведя тем самым задачу к оцениванию малой величины $\Delta t - \Delta t_0$. Далее под Δt мы будем понимать эту разность между истинным и номинальным значениями запаздывания.

Проверке этих утверждений в численном эксперименте на цифровом адаптивном фильтре с конечным импульсным откликом $h_i(n)$, $i = 1, \dots, N$, и посвящена данная статья.

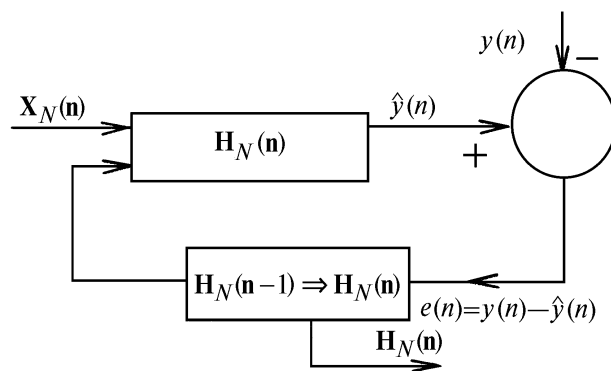


Рис. 1

Работа фильтра схематически представлена на рис. 1. Осуществляемое адаптивным фильтром преобразование описывается обычным для всех линейных фильтров уравнением свертки

$$\hat{y}(n) = \sum_{i=0}^{N-1} h_i(n) x(n-i) = H_N^T(n) X_N(n) = X_N^T(n) \mathbf{H}_N(n), \quad (1)$$

где $x(n)$ и $\hat{y}(n)$ – подаваемый на вход и вырабатываемый на выходе фильтра случайные сигналы; $\mathbf{H}_N(n)$ – импульсная характеристика фильтра на момент времени n , представляемая вектором-столбцом длиной N ,

$$\mathbf{H}_N(n) = [h_0(n), \dots, h_{N-1}(n)]^T; \quad (2)$$

$X_N(n)$ – отрезок входного сигнала, включающий значения x для моментов времени $n, n-1, \dots, n-N+1$, представляемый вектором-столбцом длиной N

$$X_N(n) = [x(n), \dots, x(n-N+1)]^T; \quad (3)$$

T – знак транспонирования матрицы. Все элементы вектора $X_N(n)$, для которых $n-i < 1$ ($i=0, 1, \dots, N-1$), равны нулю. Особенностью адаптивного фильтра является то, что с ростом n его характеристика $\mathbf{H}_N(n)$ непрерывно меняется, причем так, чтобы приблизить выходной сигнал $\hat{y}(n)$ к желаемому, или опорному сигналу $y(n)$. В идеальном случае характеристика фильтра $\mathbf{H}_N(n)$ должна определяться статистическим условием минимума невязки

$$\varepsilon(n) = E[|y(n) - \hat{y}(n)|^2], \quad (4)$$

где $E[\bullet]$ – оператор математического ожидания стоящей в скобках случайной величины. На практике, однако, удовлетворяются более простым условием

$$\sum_{i=1}^n \lambda^{n-i} e^2(i/n) = \min, \quad (5)$$

где

$$e(i/n) = y(i) - X_N^T(n) \mathbf{H}_N(n) \quad (6)$$

ошибка предсказания i -го выборочного значения желаемого сигнала $y(i)$ фильтром $\mathbf{H}_N(n)$, вычисленным в момент времени n ; λ – близкий к единице весовой коэффициент. Изменения $\mathbf{H}_N(n)$ с ростом n в процессе адаптации фильтра к поставленной задаче приближения $\hat{y}(n)$ к $y(n)$ определяются рекуррентным уравнением

$$\mathbf{H}_N(n) = \mathbf{H}_N(n-1) + \mathbf{g}_N(n) [(y(n) - X_N^T(n)) \mathbf{H}_N(n-1)], \quad (7)$$

где $\mathbf{g}_N(n)$ – вектор коэффициентов усиления, к вычислению которых для каждого n и сводится задача построения адаптивного фильтра. Собственно, это уравнение вместе с процедурой обновления $\mathbf{g}_N(n)$ при переходе от $n-1$ к n и называется адаптивным фильтром. Работа фильтра по этому уравнению начинается от момента времени $n=1$ до конечного значения $n=p \geq N$, за которым величина $\varepsilon(n)$ практически уже не изменяется.

Это рекурсивный адаптивный фильтр, построенный по методу наименьших квадратов. Его работа может быть представлена следующей схемой. Начальные условия при $n=0$:

$$\mathbf{H}_{NN}(0) = \mathbf{X}_{NN}(0) = 0, \quad (8)$$

$$C_{NN}(0) = \delta I_{NN}, \quad (\delta \gg 1). \quad (9)$$

Входные данные для n от 1 до конечного значения p : $y(n), \mathbf{X}_N(n)$.

Текущий (n -й) цикл вычислений:

$$e(n/n-1) = y(n) - \mathbf{X}_N^T(n) \mathbf{H}_N(n-1) - (\text{ошибка предсказания}), \quad (10)$$

$$\mu(n) = \mathbf{X}_N^T(n) C_{NN}(n-1) \mathbf{X}_N(n), \quad (11)$$

$$\mathbf{g}_N(n) = \frac{C_{NN}(n-1) \mathbf{X}_N(n)}{\lambda + \mu(n)} - (\text{вектор усиления}), \quad (12)$$

$$\mathbf{H}_N(n) = \mathbf{H}_N(n-1) + \mathbf{g}_N(n) e(n/n-1) - (\text{обновленная оценка}), \quad (13)$$

$$C_{NN}(n) = (1/\lambda) [C_{NN}(n-1) - \mathbf{g}_N(n) \mathbf{X}_N^T(n) C_{NN}(n-1)]. \quad (14)$$

На завершающем (p -м) цикле на выход выдаются N чисел $h_0(p), h_1(p), \dots, h_{N-1}(p)$, образующих вектор-столбец $\mathbf{H}_N(p)$. Начальное условие $C_{NN}(0) = \delta I_{NN}, (\delta \gg 1)$, где I_{NN} – единичная $N \times N$ матрица, вводится для обеспечения существования обратной матрицы C_{NN}^{-1} на первых $n \leq N$ этапах вычислений, так как при других условиях матрица $C_{NN}(n)$ могла быть сингулярной.

Приведенный алгоритм нужно рассматривать лишь как базовый, поясняющий принцип работы адаптивного фильтра в режиме идентификации линейной системы. Цикл вычислений по нему требует выполнения $O(N^2)$ арифметических операций. Число операций можно уменьшить до $O(N)$, используя другие, более эффективные процедуры вычислений [4, 5], основанные на схеме быстрой калмановской фильтрации. В приложении приведена программа расчета адаптивного фильтра на языке Паскаль. Помимо вычисления $\mathbf{H}_N(p)$ программа включает в себя также оценку временного сдвига между копиями Δt по формуле

$$\Delta t = \sum_{i=0}^{N-1} i h_i(p), \quad p \geq N = 20 \div 40. \quad (15)$$

Сходимость реализуемого программой алгоритма иллюстрируется кривыми на рис. 2, где приведены зависимости коэффициентов $h_i(n)$ от i при отношении сигнал-шум, равном 30, для различных значений $n (N=20)$. Значения λ и δ в расчетах были приняты равными 0,9 и 5 соответственно. На рис. 3 показаны параметры адаптивного фильтра для двух сигналов, имеющих одинаковую форму при отсутствии шума.

Как видно из рис. 3, индекс максимальной компоненты адаптивного фильтра соответствует разности времени прихода сигналов $\Delta t = 4\tau$, где τ – шаг по времени.

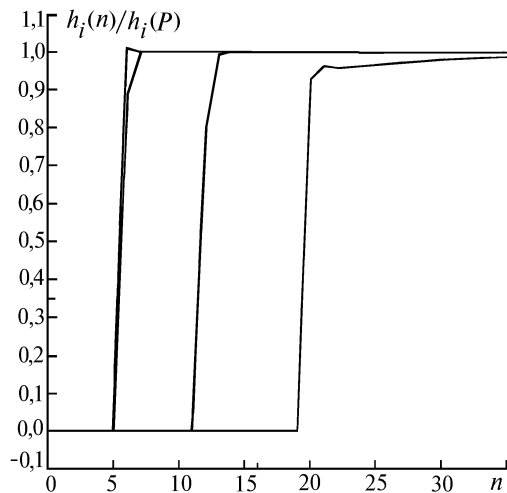


Рис. 2. Параметры адаптивного фильтра для двух сигналов, имеющих одинаковую форму при наличии <белого> шума, $i = 0; 4; 10; 18$

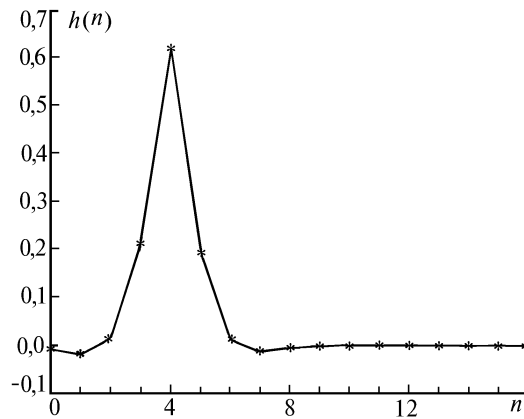


Рис. 3

Таким образом, по максимальной компоненте адаптивного фильтра можно определить Δt с погрешностью, не превышающей τ . Формула (15) в этом случае дает значение разности времени прихода сигналов с существенно более высокой точностью. Вместе с тем при наличии шума величина p не должна намного превышать характерную длительность сигнала. В противном случае адаптивный фильтр начнет подстраиваться не под сигнал, а под шум. Как показали расчеты, для двух одинаковых сигналов при отсутствии шума компоненты адаптивного фильтра практически не зависят от формы сигналов. Через $5 \div 10$ шагов по времени после начала второго импульса компоненты вектора $\mathbf{H}_N(n)$ перестают изменяться, а все компоненты с индексами, превышающими Δt на величину ≈ 10 , равны нулю. Индекс максимальной компоненты вектора $\mathbf{H}_N(n)$ соответствует моменту времени, который менее чем на $\tau/2$ меньше Δt .

При наличии гауссова шума, искажающего первый и второй сигналы (шумы, поступающие на каждый из приемников, независимы), а также с учетом неравномерной затяжки облачной атмосферой сигналов, поступающих на приемники, расположенные на различных КА, вектор $\mathbf{H}_N(n)$ заметно искажается. Компоненты вектора $\mathbf{H}_N(n)$ с большими индексами уже не обращаются в нуль. Формула (15) при этом уже не будет давать удовлетворительной точности. Для определения величины Δt в этом случае можно использовать время, соответствующее максимальной (главный максимум) компоненте вектора $\mathbf{H}_N(n)$. При этом точность определения величины Δt равна шагу по времени τ . Для уменьшения влияния шума на точность определения времени Δt можно сравнивать сигналы после их сглаживания. В качестве интегратора (сглаживателя сигнала) выбирается RC -цепь, описываемая уравнением

$$V(t) = \frac{1}{t_I} \int_0^t X(\tau) \exp\left(-\frac{t-\tau}{t_I}\right) d\tau, \quad (16)$$

где $X(\tau)$ – исходный, а $V(t)$ – сглаженный сигналы. Применяя формулы численного интегрирования с шагом, равным τ , получим выражение для $V(t)$

$$V(t) = X(t) - t_I e^{-t/t_I} \sum_{j=1}^i D_j (e^{t_j/t_I} - e^{t_{j-1}/t_I}), \quad (17)$$

$$D_j = \frac{X(t_j) - X(t_{j-1})}{t_j - t_{j-1}}. \quad (18)$$

Сглаживание сигналов существенно увеличивает отношение сигнал-шум. При этом компоненты вектора $\mathbf{H}_N(n)$ с большими индексами все еще не обращаются в нуль и пользование форму-

лой (15) для расчета разности времени прихода сигналов не дает качественных результатов. Вместе с тем операция интегрирования с большим t_i приводит к тому, что главный максимум функции $H_N(n)$ становится более выраженным и определять разность времен прихода сигналов по главному максимуму функции $H_N(n)$ можно при более низких отношениях сигнал-шум.

Проведенные расчеты показали, что параметры адаптивного фильтра Калмана, преобразующие первый из поступивших сигналов в сигнал, минимально отличающийся от второго, могут быть использованы для расчета времени между началом прихода сигнала на приемники. Даже при наличии шумов и неравномерной (по КА) задержки оптических сигналов в облачной атмосфере погрешность определения времени Δt по параметрам фильтра $H_N(n)$ не превосходит шаг по времени τ .

ПРИЛОЖЕНИЕ

**Программа расчета дискретного адаптивного фильтра Калмана $H_N(n)$ и времени задержки сигналов.
Временная зависимость входного и опорного сигналов задается функциями $F_x(j)$ и $F_y(j)$.**

```

Program FK;
    Const N 1 = 50;           {ширина окна}
    Delta : Extended = 5.0;   La : Extended = 0.9;   P = 50;
    Ti : Extended = 10;      {постоянная интегрирования}
    Var i, j, j1, j2, j3 : Integer;
    S, S1, S2, S3, S4, M, E, Y : Extended;
    X, X1, Y1, H, g, g1 : Array [0..N1-1] of Extended;
    C : Array [0..N1-1, 0..N1-1] of Extended;
    Begin
        For j3 := 0 to N1-1 do
            For i := 0 to N1-1 do C[j3, i] := 0;
        For i := 0 To N1-1 Do Begin
            X[i] := 0; H[i] := 0; C[i, i] := Delta   End;
            For j2 := 1 to P do Begin {j2}
                If j2 <= N1-1 Then Begin j := j2; j1 := j2-1   End
                Else Begin j := N1-1; j1 := j   End;
                For i := j Down To 1 do X[i] := X[i-1];
                X1 [j] := Fx(j);           {вектор входного сигнала}
                Y1 [j] := Fy(j);           {вектор выходного сигнала}
                {интегрирование сигналов}
                S1 := 0; S4 := 0;
                For i := 1 To j do Begin {i}
                    S2 := (j - i)/Ti; If S2 > 60 Then S2 := 0 Else S2 := Exp(-S2);
                    S3 := (j - i + 1)/Ti; If S3 > 60 Then S3 := 0 Else S3 := Exp(-S3);
                    S1 := S1 + (X1[i] - X1[i - 1])*(S2 - S3);
                    S4 := S4 + (Y1[i] - Y1[i - 1])*(S2 - S3) End; {i}
                    X[0] := X1[j] - Ti*S1;   Y := Y1[j] - Ti*S4;
                    {расчет ошибки предсказания сигнала}
                S := 0; For i := 0 to j1 do S := S + X[i]*H[i]; E := Y - S;
                {расчет величины  $\mu(n)$ }
                M := 0; For j3 := 0 to j1 do Begin S := 0;
                    For i := 0 to j1 do S := S + X[i]*C[j3, i]; M := M + S*X[j3]   End;
                    {расчет вектора усиления}
                    For j3 := 0 to j1 do Begin S := 0;
                        For i := 0 to j1 do S := S + C[j3, i]*X[i];
                        g[j3] := S/(LA + M)   End;
                        {расчет обновленной оценки}
                    For i := 0 to j1 do H[i] := H[i] + g[i]*E;
                    For i := 0 to j1 do Begin g1[i] := 0;
                        For j3 := 0 to j1 do g1[i] := g1[i] + X[j3]*C[j3, i] End;
                        For j3 := 0 to j1 do For i := 0 to j1 do
                            C[j3, i] := (C[j3, i] - g[j3]*g1[i])/La End; {j2}
                            {расчет разности времени прихода сигналов}
                        S := 0; For i := 0 to N1-1 do S := S + i*H[i]   End   End.
    
```

1. Шабшаевич В.С., Дмитриев П.П., Иванцевич Н.В. и др. Сетевые спутниковые радионавигационные системы. М.: Радио и связь, 1982. 272 с.
2. Алдошина О.И., Фабриков А.В. // Оптика атмосферы и океана. 1994. Т. 7, N 6. С. 827 – 832.
3. Ундрои Б., Стирнз С. Адаптивная обработка сигналов. М.: Радио и связь, 1989. 440 с.

4. C i o f f i J. M. , K a i l a t h T. // IEEE Trans. Acoust., Speech, Signal Processing. 1984, V. ASSP-32, N 2. P. 304–337.
5. D a v i d W. // IEEE Trans. accoust., Speech, Signal Processing. 1984. V. ASSP-32, N 5. P. 998–1005.

Всероссийский НИИ оптико-физических
измерений Госстандарта России, Москва

Поступила в редакцию
6 марта 1994 г.

O. I. Aldoshina, N. L. Stal', A. V. Fabrikov. Use of an Adaptive Filter in the Problem on Estimating Coordinates of an Optical Radiation Source.

In this paper we analyze a possibility of using Kalman linear adaptive filter in the problem on estimating coordinates of a pulsed source of optical radiation observed through the atmosphere.